

شبیه‌سازی عددی پارامترهای هیدرولیکی اشباع و غیر اشباع خاک در شرایط دو و سه بعدی و مقایسه با دیسک تنشی

رسول قبادیان^{۱*}، بهمن فرهادی^۲، رامین ملکی^۳ و میلاد فرمانی‌فرد^۴

^۱- نویسنده مسئول: استادیار گروه مهندسی آب پردیس کشاورزی و منابع طبیعی دانشگاه رازی rsghobadian@gmail.com

^۲- استادیار گروه مهندسی آب پردیس کشاورزی و منابع طبیعی دانشگاه رازی

^۳- فارغ التحصیل کارشناسی ارشد آبیاری و زهکشی گروه مهندسی آب پردیس کشاورزی و منابع طبیعی دانشگاه رازی

^۴- دانشجوی دکتری آبیاری و زهکشی گروه مهندسی آب پردیس کشاورزی و منابع طبیعی دانشگاه رازی

تاریخ دریافت: ۹۲/۶/۱۷ تاریخ پذیرش: ۹۲/۱۰/۱۷

چکیده

اهمیت تعیین مشخصات هیدرولیکی خاک‌های غیر اشباع در انتقال املاح و جریان آب همواره مورد توجه مهندسان علوم خاک قرار گرفته است. از جمله این مشخصات هدایت هیدرولیکی است که باید در مکش‌های مختلف تعیین گردد. هدایت هیدرولیکی غیر اشباع به دست آمده از دیسک تنشی به صورت سنتی از تحلیل وودینگ در حالت پایدار محاسبه می‌شود. تخمین پارامترهای هیدرولیکی با حل عددی معادله‌های جریان و بهینه‌سازی پارامترها به روش حل معکوس یکی از روش‌های مرسوم است که دقت آن بستگی به نوع خاک دارد. در این تحقیق هدایت هیدرولیکی در شرایط مختلف رطوبتی (اشباع و غیر اشباع) در پنج مکش ۱۵، ۲۰، ۲۵ و صفر سانتی‌متر با دیسک تنشی بر روی چهار نمونه استوانه‌ای شکل خاک سیلتی رسی با قطر ۵۶ و ارتفاع ۷۵ سانتی‌متر اندازه‌گیری شد. سپس نتایج حاصل از دیسک تنشی و حل معکوس مقایسه شدند. حل معکوس و شبیه‌سازی جریان با مدل هایدروس دو و سه بعدی با روش ون‌گنخون - معلم انجام شد. بهینه سازی بر اساس داده‌های زمان، نفوذ تجمعی و پارامترهای هدایت هیدرولیکی اشباع و ۰ به دست آمده از تحلیل داده‌های دیسک تنشی انجام گردید. از نتایج بهینه سازی در شرایط دو بعدی برای اجرای برنامه در حالت سه بعدی استفاده شد. مقادیر میانگین خطای استاندارد پارامترهای θ_1 و L بهینه شده به ترتیب 11 ± 0.078 و 117 ± 0.078 به دست آمد. نتایج تحقیق نشان داد هدایت هیدرولیکی غیر اشباع بدست آمده از مدل همواره کمتر از مقادیر اندازه‌گیری شده به وسیله دیسک تنشی می‌باشد، هر چند در مکش‌های کم مطابقت بهتری (خطای کمتری) در مقایسه با مکش‌های بالاتر نشان می‌دهند. همچنین کمترین و بیشترین مقدار خطا در شبیه‌سازی هدایت هیدرولیکی غیر اشباع در مکش‌های ۵ و ۲۰ سانتی‌متری به ترتیب برابر با 6 ± 0.05 درصد به دست آمد.

کلید واژه‌ها: دیسک تنشی، حل معکوس، هدایت هیدرولیکی، بهینه سازی، مدل هایدروس

2D/3D Numerical Simulation of Saturated and Unsaturated Soil Characteristics and Comparison with Tension Disc

R.Ghobadian¹, B. Farhadi², R. Maleki³ and M. Farmanifard⁴

1-Assistant Professor, Water Engineering Department, Razi University, Kermanshah, Iran.

2- Assistant Professor, Water Engineering Department, Razi University, Kermanshah, Iran.

3- Former M.Sc. Student in Irrigation and Drainage, Water Engineering Department, Razi University, Kermanshah, Iran.

4- Ph.D. Student in Irrigation and Drainage, Water Engineering Department, Razi University, Kermanshah, Iran.

Received: 8 Sep.2013 Accepted: 7 January 2014

Abstract

Importance of determining unsaturated soils hydraulic properties in solute transport and water flow is always regarded by soil science engineers. Among these properties is the hydraulic conductivity that should be determined at different suction. Unsaturated hydraulic conductivity is estimated using the traditional Wooding analysis at steady state condition for tension disc. Estimating of hydraulic parameters using

numerical solution of flow equations and the parameter optimization with inverse solution method is one of the conventional methods that its accuracy is dependent on soil type. In this study, saturated and unsaturated hydraulic conductivity was measured in 5 suctions 20, 15, 10, 5 and 0 cm from experiment tension disc on four samples of cylindrical clay soil with diameter of 56 cm and height of 75 cm. Then, the results of tension disc were compared with inverse solution. The Hydrus 2D/3D model was used for inverse solution with Van Genuchten-Mualem method. Optimization process was done based time, cumulative infiltration data, saturated hydraulic conductivity and α parameters obtained from the analysis of the tension disc. Then the optimized parameters in 2D were used for 3D model simulation. The average standard error of optimized θ_r , n and L was obtained 0.011, 0.078 and 0.117, respectively. The results showed that the unsaturated hydraulic conductivity obtained from the model is less than the values measured by tension disc. However, the low suctions indicated better agreement than higher suctions. Additionally, the maximum and minimum value of simulation error of unsaturated hydraulic conductivity was found in suctions 5 and 20 cm equal to 6.50% and 60.0%, respectively.

Keywords: Tension disc, Inverse solution, Hydraulic conductivity, Optimization, Hydrus model

مقدمه

از دیسک تنشی مطالعه کردند و به این نتیجه رسیدند که بهترین حالت برای تخمین پارامترهای هیدرولیکی خاک در شرایطی است که مقادیر رطوبت اولیه و نهایی خاک مشخص باشد. همچنین نشان دادند که روش وودینگ برای تحلیل داده‌های نفوذ دیسک تنشی در ترکیب با روش معکوس نتایج موافقیت‌آمیزی نشان می‌دهد.

در تحقیقی قیادیان و محمدی (۱۳۸۹) به اندازه‌گیری ضریب هدایت هیدرولیکی اشباع توسط دستگاه پرماتر-گلفر خاکی با بافت خاک لوم سیلتی در مزرعه پردیس کشاورزی و منابع طبیعی کشاورزی دانشگاه رازی پرداختند. به منظور تعیین هدایت هیدرولیکی اشباع و پتانسیل ماتریک خاک با دستگاه پرماتر گلف در سه عمق ثابت ۵، ۱۵ و ۲۵ سانتی‌متر انجام شد. از بین روش‌های تحلیلیک اشباع عمقی گلف نزدیکترین روش به روش آنالیزیک عمقی لایپلاس و ریچارز اختلاف معنی‌دار در سطح پنج درصد وجود داشت و میانگین نفوذپذیری خاک محدوده مورد مطالعه $0/152$ متر در روز بدست آمد. غفاری و همکاران (۱۳۸۶) روش‌های نفوذستخ گلف و نفوذستخ مکشی را برای اندازه‌گیری هدایت هیدرولیکی اشباع در یک خاک لوم رسی سیلتی (عمق $40-50$ سانتی‌متر) با هم مقایسه کردند. اندازه‌گیری‌های نفوذستخ گلف در دو بار فشاری ۵ و ۱۰ سانتی‌متر و نفوذستخ مکشی در چهار بار مکشی ۱، ۳، ۶ و ۱۰ سانتی‌متر انجام گردید. روش نفوذستخ گلف مقدار هدایت هیدرولیکی اشباع توسط کمتری را احتمالاً به خاطر کوچک بودن اندازه نمونه در روش گلف و سه بعدی در نظر گرفتن جریان در نفوذستخ مکشی، نشان داد.

مقبلى و دلفاردى (۲۰۰۹)، نتایج شبیه‌سازی رطوبت به وسیله مدل هایدروس یک بعدی را با مقادیر رطوبت اندازه‌گیری شده در پروفیل خاک در مزرعه مورد مقایسه قرار دادند. نتایج حاکی از تطابق خوب بین مقادیر شبیه‌سازی با اندازه‌گیری بود.

مشگی و چو^۷ (۲۰۱۲) به بررسی اثر شب و همچنین صحت شبیه‌سازی دیسک در حالت دو بعدی در شش نوع خاک مختلف با

ضریب آبگذری یا هدایت هیدرولیکی خاک نشان دهنده سرعت حرکت آب در خاک می‌باشد و یکی از خصوصیات مهم فیزیکی خاک است. در تعیین ضریب آبگذری اشباع خاک، مشکل زمانی پیش می‌آید که سطح ایستابی موجود نباشد. روش‌هایی که در چند سال گذشته در این مورد ارائه شده‌اند یا از لحاظ تئوری و یا از نظر عملی دارای مشکلاتی می‌باشند. اکثر فرایندهای که در خاک صورت می‌گیرد در حالت غیر اشباع است. به همین دلیل اخیراً توجه ویژه‌ای به هدایت هیدرولیکی غیر اشباع شده است. از طرفی اندازه‌گیری دقیق این پارامتر نیاز به صرف زمان و هزینه بالایی دارد. از این‌رو روش‌هایی همانند توابع انتقالی و روش‌های عددی تلاش‌هایی برای رفع این نقصه داشته‌اند که باعث به وجود آمدن مدل‌های قدرتمندی نظریه‌هایدروس^۸ شده است.

اخیراً دیسک تنشی نفوذی به عنوان ابزاری برای اندازه‌گیری مشخصات هیدرولیکی نزدیک به اشباع در محل، کاربرد فراوانی پیدا کرده است (آنکنی و همکاران، ۱۹۹۱). قرار دادن داده‌های نفوذ در مدل نمایی گاردنر^۹ (۱۹۵۸) و رابطه وودینگ^{۱۰} (۱۹۶۸)، تحت شرایط نتش می‌توان هدایت هیدرولیکی اشباع و غیر اشباع و پارامترهای عکس مکش ورود هوا (α) را برآورد کرد. حل این تحلیل حداقل به دو اندازه‌گیری با دو دیسک با قطر مختلف یا یک دیسک با اعمال چندین بار فشاری نیاز دارد (جاروپس و مسینگ، ۱۹۹۵).

در تحلیل وودینگ (۱۹۶۸) برای برآورد پارامترها از داده‌های حالت پایدار نفوذ استفاده می‌گردد اما سیمونک و ون گنختون^{۱۱} (۱۹۹۷)، پیشنهاد کردند که از داده‌های تحلیل نفوذ تجمعی همراه با بهینه سازی پارامترها برای بدست آوردن سایر مشخصات هیدرولیکی خاک استفاده شود. آنها در حالتهای مختلف، روی داده‌های نفوذ ناشی

1- Hydrus

2- Ankeny et al

3- Gardner

4- Wooding

5- Jarvis and Messing

6- Simunek and van Genuchten

ماسه (با شماره استاندارد ASTM D1556) و دانه‌بندی خاک به روش هیدرومتری (با شماره استاندارد ASTM 151H) در سه تکرار انجام شد. درصد رس، سیلت و ماشه بر اساس روش وزارت کشاورزی آمریکا^۳ و نهایتاً طبقه بندی خاک به روش مثبت بافت خاک تعیین گردید (شکل ۲).

به منظور شناخت بهتر خصوصیات خاک آزمایش حد روانی و حد خمیری نیز (طبق استاندارد ۱۸۴۳ D4318) روی نمونه‌ها انجام گردید. خاک‌ها به همان ترتیبی که از چاهک‌ها برداشته شد با چگالی ظاهری ۱/۱۸ گرم بر سانتی‌متر مکعب و مشخصات مطابق جدول (۱) داخل مخازن قرار داده شد. برای اطمینان از رسیدن به چگالی ظاهری مورد نظر و یکنواخت بودن تراکم در خاک هر لایه در سه قسمت متراکم شد. بعد از ریختن وزن خاک در نظر گرفته شده سطح آن تراز گردید، که از یکنواخت کوپیدن خاک اطمینان حاصل شود.

حل معادله‌های دیسک تنشی

تحلیل داده‌های بدست آمده از نفوذستج دیسک بر اساس معادله جبری وودینگ (۱۹۶۸) در شرایطی که آب از یک منبع دایره‌ای به صورت سه بعدی، مرز نامحدود، جریان پایدار و یکنواخت به خاک وارد شود، صورت می‌گیرد (غفاری و همکاران، ۱۳۸۶). در این معادله Q : دبی حجمی (cm^3/s)، h : مکش اعمال شده (cm) و K_h : (cm/s) شاعر دیسک (cm) و هدایت هیدرولیکی غیر اشباع (Ψ)، r : شعاع دیسک (cm) و Φ_Ψ : پتانسیل جریان ماتریکس است. لوگسدون و جینیز (۱۹۹۳) راحل جبری معادله بالا را بر اساس رابطه فشار-هدایت هیدرولیکی کاردنر (۱۹۵۸) به کار برندند (۷).

$$Q_\Psi = \pi r^2 K(\Psi) + 4r\Phi_\Psi \quad (1)$$

$$\Phi_\Psi = \int_{\Psi_i}^{\Psi} K(\Psi)d\Psi \quad (2)$$

$$K(\Psi) = K_s \exp(\alpha\Psi) \quad h < 0 \quad (3)$$

$$K(\Psi) = K_s \quad h \geq 0 \quad (4)$$

α : عکس مکش ورود هوا یا کاپیلاریته ماکروسکوپیک ($1/\text{cm}$) نامیده می‌شود که برای هر خاک مقدار آن ثابت فرض می‌شود. در شرایطی که $\Psi_i > K_s$ باشد می‌توان معادله (۳) را در معادله (۲) قرار داد، در این حالت معادله زیر بدست می‌آید (اسکاتر و همکاران^۴، ۱۹۸۲):

$$\Phi_\Psi = \frac{K(\Psi)}{\alpha} \quad (5)$$

روطوت‌های اولیه متفاوت پرداخته و در شرایطی که شبها یکسان نبود، داده‌های دیسک تنشی را جمع‌آوری و با مدل هایدروس سه بعدی شبیه‌سازی نمودند. آنها مشاهده کردند که برای خاک‌هایی با سرعت نفوذ بالا حساسیت پیشتری به کاربرد مدل دو بعدی وجود دارد و به این نتیجه رسیدند که حداکثر شبیه‌مجاز برای به کارگیری مدل دو بعدی در خاک‌های رسی و شنی به ترتیب ۲۵ درجه و کمتر از ۳ درجه می‌باشد.

مورت-فراندر و همکاران^۱ (۲۰۱۲) یک طرح جدید از دیسک تنشی که در آن دیسک از سایر اجزا جدا است طراحی کردند. همچنین دستگاه آنها مجهز به یک سیستم میکروفلومتر بود که منحنی نفوذ توسط آن اندازه‌گیری شد. آنها دیسک را روی دو ستون شن و دو ستون خاک لومی با ساختارهای مختلف خاک در مزرعه آزمایش کردند. آنها منحنی نفوذ تجمعی و سرعت نفوذ ثبت شده توسط سیستم میکروفلومتر با افت آب داخل مخزن دیسک مقایسه کردند و مشاهده کردند که برازش مناسبی بین منحنی‌ها وجود دارد. همچنین جهت ارائه دقیق‌تر داده‌ها، از الگوریتم میانگین متحرک استفاده کردند که مؤلفه‌های منحنی سرعت نفوذ را بهبود بخشید.

در مجموع بررسی منابع مختلف نشان می‌دهد که بیشتر تمرکز روی شرایط اشباع و شبیه سازی در حالت دو بعدی بوده است و از طرفی نیز بسیاری از فرآیندهای طبیعی که در بستر خاک شکل می‌گیرند مانند جذب آب توسط ریشه، جریان اطراف زهکش‌ها، انتقال املاح و غیره در حالت غیر اشباع رخ می‌دهند، از این رو هدف این تحقیق اندازه‌گیری پارامترهای هیدرولیکی خاک با روش دیسک تنشی و مقایسه با نتایج بدست آمده از نرم افزار هایدروس در شرایط دو و سه بعدی در شرایط اشباع و غیر اشباع می‌باشد.

مواد و روش‌ها

معرفی محل اجرا و شرایط آزمایش

در این تحقیق نمونه‌های خاک مورد مطالعه از چهار محل به فاصله ۵ متر از محلی واقع در اراضی مزرعه تحقیقاتی پرdis کشاورزی دانشگاه رازی کرمانشاه برداشت و به آزمایشگاه منتقل شدند (شکل ۱-الف). قبل از ریختن خاک داخل نمونه به ارتفاع ۱۰ سانتی‌متر شن و یک شیر تخلیه بهمنظور زهکشی در مخازن نصب گردید. سپس نمونه‌ها به همان ترتیب داخل ظرف‌های نمونه به ارتفاع ۸۵ و قطر ۵۶ سانتی‌متر قرار داده شدند. در ادامه با استفاده از دیسک تنشی در پنج مکش ۱۵، ۲۰، ۲۵، ۳۰ و ۴۰ و صفر مقایر هدایت هیدرولیکی اشباع (K_h)، غیر اشباع (K_s) و پارامتر عکس مکش ورود هوا (α) اندازه‌گیری شد.

آزمایش در هر مکش هنگامی خاتمه یافت که مقدار نفوذ در خاک به یک مقدار ثابت رسید که این مقدار بستگی به نوع خاک و مکش اعمال شده داشت (لوگسدون و جینیز^۵، ۱۹۹۳). شکل (۱) مراحل انجام آزمایش را نشان می‌دهد. چگالی ظاهری نمونه‌ها به روش مخروط

3- USDA

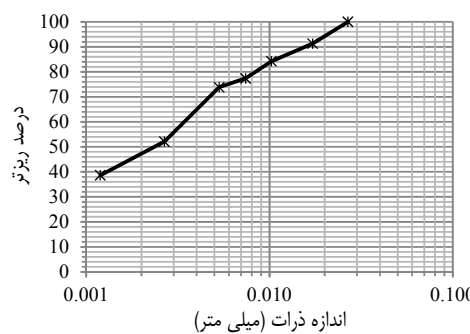
4- Scotter et al

1- Moret-Fernández et al

2- Logsdon and Jaynes



شکل ۱- مراحل انجام آزمایش، (الف) جمع آوری داده‌ها از مزرعه، (ب) خشک شدن نمونه‌ها در آزمایشگاه، (ج) آزمایش اندازه‌گیری تراکم خاک به روش ماسه، (د) آزمایش هیدرومتری برای تعیین بافت خاک، (ه) انجام آزمایش با دیسک تنشی روی نمونه‌ها



شکل ۲- نمودار دانه‌بندی خاک مورد آزمایش

جدول ۱- مشخصات فیزیکی خاک مورد آزمایش

بافت خاک	چگالی ظاهری (g/cm^3)	میانگین تخلخل (%)	حد خمیری رواني	حد سیلت ماسه	درصد مواد تشکیل دهنده بافت خاک
رسی لوم	۱/۱۸	۴۶	۲۸/۱۷	۴۱/۶۱	۵۳

در اینجا q : مقدار نفوذ آب در خاک در واحد سطح دیسک تنشی (cm/s) که تابعی نمایی از Ψ است. با رگرسیون‌گیری غیرخطی به روش لگسدون و جینیز (۱۹۹۳) می‌توان مقادیر K_S و α را به-

$$q = \frac{Q\Psi}{\pi r^2} = K_S \exp(\alpha\Psi)(1 + \frac{4}{\pi r \alpha}) \quad (6)$$

بعد از جایگذاری معادله (۵) در معادله (۱) می‌توان نوشت:

دور هستند از محاسبات خارج شده‌اند تا مقادیر آنها در نفوذ آب تأثیر نداشته باشد. در مدل هایدروس، معادله (۷) همراه با شرایط اولیه و مرزها به روش عددی المان محدود (اجزاء محدود) حل می‌شود.

دست آورد و با استفاده از معادله گاردنر هدایت هیدرولیکی غیر اشباع در هر مکش به دست می‌آید.

برآورد پارامترها به روش معکوس

معادله‌های حاکم بر نفوذ آب در خاک

معادله اصلاح شده ریچاردز در شرایط جریان متقارن، هم دما، در محیط متخلخل ایزوتروپیک و با فرض اینکه هوا نقش ناچیزی در حرکت جریان آب دارد در مختصات قطبی به شکل زیر بیان می‌شود (استم و کلوسیر^۱، ۱۹۸۹):

$$\frac{1}{r} \frac{\partial}{\partial r} \left[r K \frac{\partial h}{\partial r} \right] + \frac{\partial}{\partial z} \left[K \left(\frac{\partial h}{\partial z} + 1 \right) \right] = \frac{\partial \theta}{\partial t} \quad (۷)$$

در این معادله: z : مختصات عمودی (L) (درجهت بالا مثبت)، t : مختصات شعاعی (L)، θ : زمان (T)، K : هدایت هیدرولیکی (L/T) است. در این معادله فرض شده که در محیط متخلخل با اندازه خلل و فرج متوسط محیط ایزوتروپیک است در حالی که لازم نیست محیط همگن باشد.

شرایط مرزی اولیه

شرایط مرزی و اولیه معادله (۷) برای دیسک نفوذی به این شکل تعریف می‌شود (ون‌گنختون و همکاران^۲، ۱۹۹۱):

$$\theta(r, z, t) = \theta_i(z) \quad t = 0 \quad (۸)$$

$$h(r, z, t) = h_0(t) \quad 0 < r < r_0, z = 0 \quad (۹)$$

$$-\frac{\partial h(r, z, t)}{\partial z} - 1 = 0 \quad r > r_0, z = 0 \quad (۱۰)$$

$$\theta(r, z, t) = \theta_i(z)r^2 + z^2 \rightarrow \infty \quad (۱۱)$$

که رطوبت اولیه (L^3/L^3)، $h_0(t)$: بار اعمال شده به وسیله دیسک تنفسی و $z=0$: شعاع دیسک تنفسی (L) است. باید توجه داشت که در شروع محاسبات مقدار رطوبت اولیه خاک به عنوان شرایط اولیه در نظر گرفته شود (معادله (۸) سیمونک و ون‌گنختون^۳، ۱۹۹۷) نشان دادند که قرار دادن مقدار رطوبت به عنوان شرایط اولیه در نظر گرفته شود (معادله (۸) سیمونک و ون‌گنختون^۴، ۱۹۹۷) نشان دارد. شرایط مرزی خاک زیر دیسک و سایر قسمت‌های معکوس دارد. شرایط مرزی خاک زیر دیسک و سایر قسمت‌های سطح خاک به وسیله معادله‌های (۹) و (۱۰) بیان گردیده است. معادله (۱۱) نشان می‌دهد تمام نقاط زیر مرز سطحی که از منبع تأمین آب

تعریفتابع هدف

در مدل هایدروس، پارامترهای هیدرولیکی خاک و پارامترهای انتقال املاح به روش غیر مستقیم بهینه‌سازی با استفاده از داده‌های انتقال آب تخمین زده می‌شوند. روش معکوس معمولاً بر مبنای کمینه سازی تابع هدف است که بیان کننده اختلاف بین مقادیر مشاهداتی و تخمینی است.

جدول ۲- پارامترهای معادله ون گنوختن وارد شده به مدل

L	K _s (cm/s)	n	α (1/cm)	θ_s	θ_r	شماره نمونه
۰/۵	۰/۰۰۰۲۶	۱/۳۶	۰/۰۷۵۶	۰/۴۶	۰/۰۶۷	۱
۰/۵	۰/۰۰۰۳۲	۱/۳۶	۰/۰۸۷۲	۰/۴۳	۰/۰۶۷	۲
۰/۵	۰/۰۰۰۲۶	۱/۳۶	۰/۰۷۹۴	۰/۴۴	۰/۰۶۷	۳
۰/۵	۰/۰۰۰۲۱	۱/۳۶	۰/۰۶۹۴	۰/۴۴	۰/۰۶۷	۴
-۳		.		.		حداقل
۳		.		.	۰/۰۵	حداکثر

وارد کردن داده ها به مدل عددی

نمونه های آزمایشگاهی در صفحه ترسیم مدل^۱ به صورت دو بعدی و در صفحه مختصاتی XZ با طول ۵۶ و عرض ۷۵ ترسیم شدند. در این تحقیق از حالت جریان آب برای شبیه سازی و برای تخمین پارامترهای هیدرولیکی از روش معکوس استفاده گردید. آزمایش ها در پنج مکش (۲۰، ۱۵، ۱۰، ۵ و صفر سانتی متر) انجام شدند که مکش صفر به علت غیر منطقی و اگرا کردن جواب نهایی از فرآیند حل حذف شد.

روطوت اولیه خاک به عنوان شرایط اولیه در نظر گرفته شد. پارامترهای L و n به منظور بهینه سازی و مقدار K_s و θ_s ثابت در نظر گرفته شد. از باک اطلاعاتی روزتا^۲ موجود در مدل برای تخمین اولیه پارامترهای خاک استفاده گردید. در قسمت داده های روش معکوس^۳ نفوذ و زمان تجمعی بدست آمده از دیسک وارد مدل شد. مکش های اعمال شده به وسیله دیسک و زمان اعمال آنها در قسمت شرایط مرزی متغیر با زمان^۴ مدل وارد گردید. مرکز مرز بالای نمونه به طول ۲۰ سانتی متر (قطر دیسک تنفسی) به عنوان مرز با بار متغیر^۵ در نظر گرفته شد. بعد از بهینه شدن مقادیر بدست آمده در حالت دو بعدی از میانگین پارامترهای معادله ون گنوختن در چهار نمونه برای اجرای برنامه در حالت سه بعدی و مقایسه مقدار نفوذ تجمعی و بررسی پروفیل جبهه رطوبتی و بار فشاری استفاده شد.

نتایج و بحث

آزمایش ها در چهار نمونه و با پنج مکش (۲۰، ۱۵، ۱۰، ۵ و صفر انجام گرفت. در هر نمونه مقادیر K_s و α به روش وودینگ^۶ (۱۹۶۸) محاسبه و سپس با به کاربردن معادله گاردنر^۷ (۱۹۵۸) مقادیر K_r بدست آمد. جدول (۲) مقادیر K_s و θ_s اندازه گیری شده و سایر پارامترهای مورد نیاز معادله ون گنوختن (از باک اطلاعاتی روزتا موجود در مدل) که به عنوان مقادیر اولیه به مدل داده شده است را نشان می دهد. پارامترهای مورد نیاز معادله ون گنوختن جهت ورود به مدل عددی بر اساس بافت و مشخصات نمونه های خاک مورد آزمایش و با توجه به نتایج و

$$\begin{aligned} & \Phi(b, q, p) \\ &= \sum_{j=1}^{m_q} \sum_{i=1}^{n_{qj}} w_{ij} [g_j^*(x, t_i) - g_j(x, t_i, b)]^2 \\ &+ \sum_{j=1}^{n_b} \sum_{i=1}^{n_{pj}} \bar{w}_{ij} [p_j^*(\theta_i) - p_j(\theta_i, b)]^2 \\ &+ \sum_{i=1}^{n_b} \hat{v}_j [b_j^* - b_j]^2 \end{aligned} \quad (17)$$

پارامترهای مجهول مشخصات هیدرولیکی خاک با یک معادله تحلیلی بیان می شوند. بهینه سازی مقادیر اولیه در طول فرآیند حل تا زمانی که اختلاف بین داده های مشاهداتی و پیش بینی شده به درصد قابل قبولی بر سرse، ادامه پیدا می کند.تابع هدف به شکل زیر تعریف می شود (سیمونک و همکاران، ۱۹۹۸).

اولین عبارت سمت راست نشان دهنده اختلاف بین پارامترهای اندازه گیری شده و محاسبه شده (بار فشاری، رطوبت، غلاظت در محل های مختلف و یا نفوذ تجمعی در مقابل زمان در طول یک مرز مشخص) می باشد. m_q : تعداد اندازه گیری ها در هر مجموعه خاص، $q^*_j(X, t_i)$: مقادیر اندازه گیری شده در محل (t_i, Z) و زمان آن برای آزمین اندازه گیری است. b_j : مدل های متناظر پیش بینی بردار بهینه سازی پارامترهای b (برای مثال $b = \theta_s, K_s, \theta_r, n, \alpha$) به ترتیب وزن مجموعه ها یا نقاط اندازه گیری شده هستند. عبارت دوم اختلاف بین مشخصات هیدرولیکی مستقل اندازه گیری شده و تخمینی (مانند داده های رطوبت $\theta(h)$ و یا هدایت هیدرولیکی $K(h)$ یا $K(\theta)$) را بیان می کند. عبارت آخر بیان کننده یک تابع هدف است که تفاوت بین مشخصات هیدرولیکی معلوم b_j^* و مقدار نهایی آن ها، b_j است. عبارت های $p_j^*(\theta_i), m_p, n_{pj}, p_j(\theta_i, b)$ معنای مشابه همانند عملکردشان در عبارت اول دارند. n_b : تعداد این پارامترها و v_j وزن آن ها می باشد.

1- Geometry

2- Rosetta

3- Data for inverse solution

4- Time variable boundary condition

5- Variable head

جدول ۳- نتایج بینه‌سازی پارامترهای خاک توسط مدل هایدروس

شماره نمونه				شاخص‌های آماری	پارامترها
۴	۳	۲	۱		
۰/۰۴۱	۰/۰۰۱	۰/۰۵۰	۰/۰۳۶	مقدار بینه برآورد شده	θ_t
۰/۰۲۰	۰/۰۲۳	۰/۰۶۹	۰/۰۲۵	ضریب خطای استاندارد	
۰/۰۰۱	-۰/۰۴۶	۱/۲۲۳	-۰/۰۲۱	بازه اطمینان حدپایین	
۰/۰۸۱	۰/۰۴۶	۱/۲۶۰	۰/۰۹۴	حدبالا	
۲/۱۱۰	۲/۱۹۰	۲/۴۷۰	۲/۲۱۰	مقدار بینه برآورد شده	n
۰/۰۳۰	۰/۰۵۸	۰/۰۶۹	۰/۰۷۸	ضریب خطای استاندارد	
۲/۰۵۳	۲/۰۷۴	۲/۳۳۲	۲/۰۶۱	بازه اطمینان حدپایین	
۲/۱۷۵	۲/۳۰۷	۲/۶۰۰	۲/۳۷۴	حدبالا	
-۱/۶۲۲	-۲/۱۶۵	-۱/۷۵۵	-۱/۷۷۹	مقدار بینه برآورد شده	L
۰/۱۲۵	۰/۱۲۲	۰/۰۸۵	۰/۱۷۲	ضریب خطای استاندارد	
-۱/۸۷۲	-۲/۴۰۹	-۱/۹۲۴	-۲/۱۲۱	بازه اطمینان حدپایین	
-۱/۳۷۲	-۱/۹۲۰	-۱/۵۸۶	-۱/۴۳۶	حدبالا	
۰/۹۹۵	۰/۹۹۷	۰/۹۹۷	۰/۹۹۷	ضریب همبستگی بین مقادیر نفوذ تجمعی برآورد شده و اندازه‌گیری شده	

نتایج حاصل از بینه سازی مقادیر بینه شده پارامترها و همچنین شاخص‌های آماری برآورد برای چهار نمونه خاک مورد آزمایش در جدول (۳) خلاصه شده است.

مقادیر نشان داده شده در جدول از نتایج خروجی مدل هایدروساست. نتایج بینه سازی سه پارامتر θ_t , L , K از مطلوب بودن برآوردهای مدل است. بر اساس مقدار ضریب خطای استاندارد محاسبه شده مشاهده می‌شود که مقدار این ضریب در برآورد دو پارامتر θ_t و L در حد مناسب و قابل قبول می‌باشد و پراکندگی کمتری در نمونه‌ها داشته است. از طرف دیگر نسبت به دو پارامتر دیگر میزان ضریب خطای استاندارد در برآورد پارامتر L بیش از دو پارامتر فوق الذکر بوده است که میتوان دلیل وجود این تفاوت و افزایش خطای خاک را در حساسیت بیشتر این پارامتر و تأثیرپذیری تخمین و بینه سازی L از پارامترهای دیگر دانست. همچنین نمی‌توان از تأثیر دستخورگی یا وجود خطای انسانی به راحتی گذشت. با دقت در جدول (۳) می‌توان به وجود تغییر در مقدار L در نمونه شماره سه با دیگر نمونه‌ها پردازد. دلیل این تغییر و تفاوت نسبی را می‌توان در بافت و خصوصیات نمونه خاک جستجو کرد. از طرفی باید به دقت مدل در برآورد مقادیر نفوذ تجمعی برای هر چهار نمونه خاک اشاره نمود.

بر اساس نتایج جدول (۳)، ضریب همبستگی میان مقادیر نفوذ تجمعی برآورد شده و اندازه‌گیری شده در همه نمونه‌ها بیشتر از ۰/۹۹۵ بوده است. ون‌گونخن و همکاران، (۱۹۹۱) با استفاده از داده‌های اندازه‌گیری شده آبله^۳ (۱۹۸۴) که بر روی لایسیمترهای پر شده از خاک از جنس سنگ توف انجام گرفت، به شبیه سازی پارامترهای هیدرولیکی خاک با

پیشنهادهای گزارش شده پیشین انتخاب گردیدند. مقادیر و حدکثر اشاره شده در جدول نشانگر بازه محدودیت برآورد پارامتر توسط تابع هدف می‌باشد، که رقم صفر میان عدم وجود محدودیت در برآورد می‌باشد.

در تأیید دلیل انتخاب مقادیر اولیه برای شبیه سازی معادله ون‌گونخن در مدل و بازه محدودیت پارامترها جهت بینه سازی باید ابراز داشت که وosten و همکاران^۱ (۱۹۹۹)، برای اعمال شرایط مرزی به مدل خود مقدار پارامترهای ورودی را به $K > 10$, $L > 10$, $a > 0$ و $n > 1$ می‌باشد. اگرچه، این مقدار برای خاک‌های مختلف تقریباً بین ۵-۱۰ متر متفاوت بود. نتایج تحلیل پارامترهای هیدرولیکی ۲۰۰ نمونه خاک نشان داد که تغییرات و تفاوت مقدار پارامتر L سیار زیاد بوده و مقدار این پارامتر از ۱۶-تا بیشتر از ۲ به دست آمد، (وosten و ون‌گونخن، ۱۹۸۸). ثابت نمودن مقدار پارامتر L برای مدل نمودن خاک‌های درشت بافت قابل قبول است اما این فرض برای بسیاری از خاک‌های با بافت متوسط و ریز بافت درست نمی‌باشد. نتایج ون‌گونخن و همکاران، (۱۹۹۱) اشاره به این موضوع دارد که در صورت فراهم بودن داده‌های اندازه‌گیری کافی در دسترس برای فرآیند برآورد، ثابت نمودن مقدار متغیر L در فرایند بهینه سازی پارامترها، احتمالاً قادر خواهد بود تحلیل داده‌های هیدرولیکی خاک را ارتقا بخشد.

جدول ۴- تحلیل آماری نتایج بدست آمده از دیسک تنشی و مدل عددی در حالت دو بعدی با نرم افزار SPSS

بانک اطلاعاتی روزتا		پارامتر	آماری	شاخص	روش			
SSCBD	SSC	واریانس	انحراف معیار	میانگین خطای استاندارد	میانگین	حداکثر	حداقل	
۰/۰۰۰۲۵۲	۰/۰۰۰۱۵	۰/۰۰۰۱۵	۰/۰۰۰۴۵	۰/۰۰۰۲۳	۰/۰۰۰۲۶۳	۰/۰۰۰۳۲	۰/۰۰۰۲۱	K_s (cm/s)
۰/۰۱۵	۰/۰۱۳	۰/۰۰۰	۰/۰۰۷	۰/۰۰۴	۰/۰۷۸	۰/۰۸۷	۰/۰۶۹	α (1/cm)
۰/۰۵۰۸	۰/۰۱۷۴	۰/۰۰۰	۰/۰۱۳	۰/۰۰۶	۰/۴۴۳	۰/۴۶۰	۰/۴۳۰	θ_s (%)
۰/۱۰۴	۰/۰۱۶	۰/۰۰۰	۰/۰۲۱	۰/۰۱۱	۰/۰۳۲	۰/۰۵۰	۰/۰۰۱	θ_f (%)
۱/۳۶۰	۱/۳۷۳	۰/۰۲۴	۰/۱۵۶	۰/۰۷۸	۲/۲۴۵	۲/۴۷۰	۲/۱۱۰	n
-۰/۰۸۳۳	-۰/۰۱۵۶۴	-۰/۰۰۵۵	-۰/۰۲۳۴	-۰/۱۱۷	-۱/۸۳۰	-۱/۶۲۲	-۲/۱۶۵	L

نتیجه مرور کلی مارسل و لیچ^۴ (۲۰۰۰) بر روی پارامترهای هیدرولیکی برای انواع خاک‌ها (حاصل از ۲۳۵ نمونه خاک) نشان می‌دهد که مقدار L برای خاک‌های لومی ۰/۰۶۹-۰/۰۷۷ برای خاک‌های رسی ۰/۰۵-۰/۰۵ و برای خاک‌های سیلتی برابر ۰/۰۲۲-۰/۰۲۳ می‌باشد. همچنین مقدار پارامترهای K_s و n به ترتیب برابر با ۰/۰۰۰۳۰۴ و ۰/۰۰۰۴۱ برای ۰/۰۱۲ (cm/s)، (cm)^{۰/۰۴۱} و α (1/cm) می‌باشد. همچنین مقدار θ_s و θ_f به دست آمد. آنها مقدار منفی برای پارامتر L را برای همه خاک‌ها بدست آورده‌اند که کمترین مقدار مربوط به خاک‌های رسی و لومی بود (۰/۰۸). از طرفی نیز در مقایسه با پایگاه داده هایپر که حاوی نمونه خاک می‌باشد نتایج بدست آمده از تحقیق حاضر همخوانی و موافق متناسبی خصوصاً برای پارامترهای θ_s ، n و K_s وجود دارد (ووستن و نمز^۵، ۰/۰۰۰۴).

شکل (۳) نتایج مقایسه داده‌های اندازه‌گیری شده هدایت هیدرولیکی با دیسک تنشی و تخمین آن بوسیله مدل را نشان می‌دهد. در این شکل ها مشخص است که با افزایش مقدار مکش، اختلاف بین مقدار هدایت هیدرولیکی اندازه‌گیری شده توسط دیسک تنشی و مقدار برآورد شده مدل بیشتر شده است. از بعدی دیگر نیز باید ابراز داشت که در هر چهار نمونه خاک مورد آزمایش، مقدار هدایت هیدرولیکی اندازه‌گیری شده بیش از مقدار شبیه‌سازی شده است.

بعد از بهمنه نمودن پارامترها، از داده‌های آن برای اجرای مدل در حالت سه بعدی استفاده شد. برای اطمینان از واسنجی و درست بودن نتایج مدل سه بعدی منحنی نفوذ تجمعی سه بعدی با مقادیر اندازه‌گیری شده مقایسه شد که در شکل (۴) نشان داده شده است. پر واضح است که برآش بسیار بالایی میان میزان نفوذ تجمعی اندازه‌گیری شده و شبیه‌سازی شده وجود دارد و مدل عددی قادر است به طور دقیق مقادیر نفوذ تجمعی را برآورد نماید.

برآورد دقیق نفوذ تجمعی می‌تواند بیانگر دقت بالای مدل در شبیه سازی جبهه رطوبتی خاک باشد که در علوم خاک و آب کابرد فروانی دارد. باید توجه داشت که در بسترها غیر متقارن و نامنظم نیز می‌توان از مدل به صورت سه بعدی استفاده کرد که این امر توانایی

به کارگیری مدل RETC به دو روش متفاوت پرداختند که در روش دوم پارامترهای θ_s برابر ۰/۰۳۱ و K_s برابر ۰/۰۰۰۱۴۴ (سانتی متر در روز) ثابت در نظر گرفته شد و پارامترهای θ_f برابر با ۰/۰۰۴۵ برابر با L برابر ۰/۰۱۲۹ - توسط مدل شبیه‌سازی شدند. با مقایسه این نتایج و روش مشابه با تحقیق حاضر، همخوانی و نزدیکی قابل توجهی بین مقادیر برآورد شده مشاهده می‌شود.

پس از بهینه‌سازی پارامترهای نمونه‌های خاک مورد آزمایش، برای هر یک از پارامترها تحلیل آماری با نرم افزار SPSS انجام شد که جدول (۴) این نتایج را نشان می‌دهد. آنچه در این جدول واضح است دقت بالای نتایج اندازه‌گیری شده و مقادیر شبیه سازی شده است. وجود انحراف معیار، میانگین خطای استاندارد و واریانس بسیار کم (و حتی در برخی پارامترها برابر ۰/۰۰۰۰۰۰) مؤید این واقعیت است.

براساس جدول (۴) نتایج میانگین هدایت هیدرولیکی اشیاع بدست آمده از این تحقیق ۰/۰۰۰۲۶۳ (سانتی متر بر ثانیه) (معادل ۰/۰۲۲۷ متر بر روز) می‌باشد. نتایج بدست آمده از تحقیق قیادیان و محمدی (۰/۰۳۸۹)، که در مزرعه آزمایشی پر دیس کشاورزی دانشگاه رازی با دستگاه پر مامتر گلف بر اساس چهار روش مختلف انجام گرفت، مقدار K_s را برابر ۰/۱۳۴ متر در روز در منطقه مشابه محل انجام آزمایش‌های تحقیق حاضر به دست آورد. اختلاف می‌تواند ناشی از روش انجام آزمایش باشد. همچنین مقادیر هدایت هیدرولیکی اشیاع و آلفا با مقادیر به دست آمده از بانک اطلاعاتی روزتا (با روش^۶ و SSCBD^۷) مقایسه گردید که نتایج نشان داد که مقادیر به دست آمده از این روش دارای اختلاف کمی با مقادیر به دست آمده در این تحقیق می‌باشد. از طرفی نیز، باید اضافه نمود که مقادیر α بدست آمده در این تحقیق (۰/۰۷۸ ۱/cm) با نتایج رینولدز و همکاران^۸ (۰/۰۸۵) برای خاک‌های با بافت سنگین (۰/۰۴ ۱/cm) همخوانی دارد.

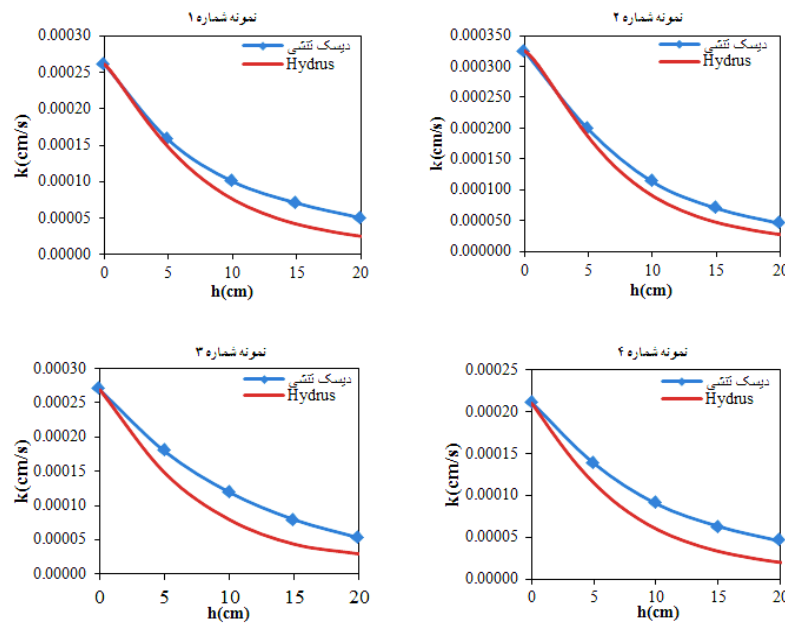
1- Sand, Silt, Clay

2- Sand, Silt, Clay and Bulk Density

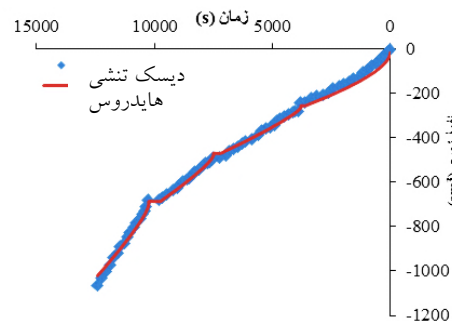
3- Reynolds et al

4- Marsel and Leij

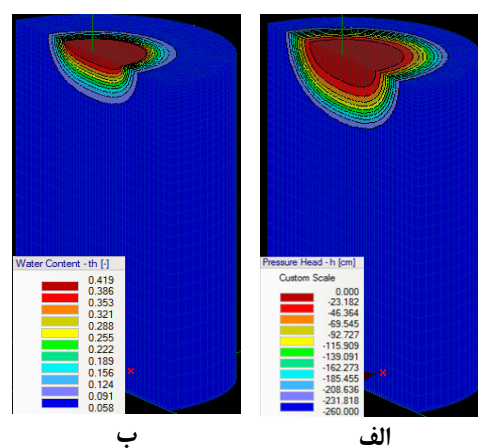
5- Wösten and Nemes



شکل ۳- مقایسه منحنی مشخصه هیدرولیکی خاک شبیه سازی شده و اندازه گیری شده



شکل ۴- منحنی نفوذ تجمعی شبیه سازی و اندازه گیری شده



شکل ۵- (الف) جبهه توزیع بار فشاری. (ب) جبهه توزیع رطوبت

براساس جدول های (۳) و (۴) حل به روش معکوس توانایی بالای در تخمین مقادیر θ_0 و n دارد اما مقادیر L را در یک بازه منفی قرار می‌دهد. از طرفی به علت مطابقت دقیق منحنی نفوذ تجمیع دیسک و مدل (شکل ۴) می‌توان به نتایج بهینه سازی پارامترها اطمینان بیشتری داشت.

بر اساس شکل (۳) در هر چهار نمونه مقادیر هدايت هیدرولیکی غیر اشباع به دست آمده از دیسک تشخیص بیشتر از مقادیر تخمینی است. با توجه به اینکه با ثابت نگهداشتن سایر پارامترهای معادله ون گنجون کاهش مقادیر L باعث کاهش هدايت هیدرولیکی غیر اشباع می‌شود، احتمالاً کم تخمین زدن این پارامتر به وسیله روش معکوس باعث شده که مقادیر هدايت هیدرولیکی غیر اشباع کمتر از مقادیر اندازه‌گیری به وسیله دیسک تشخیص باشد. باید اضافه نمود که در مقایسه نتایج پارامترهای اندازه‌گیری شده و شبیه‌سازی شده جدول (۴)، تشابه و تزدیکی مناسبی با نتایج گزارش‌های کارسل و پریش^۱ (۱۹۸۸) و راولز و همکاران^۲ (۱۹۸۲) برای خاک لومی رسی و بانک اطلاعاتی روزتا وجود دارد.

بالای آن را نشان می‌دهد. با کاهش مکش شبیه نمودار تندتر شده که بیانگر سرعت نفوذ بیشتر در مکش‌های نزدیک به صفر است. در فواصل بین تغییر مکش‌های دیسک تشخیص نیاز به تغییر مکان دیسک از روی نمونه به محل مناسب است که در این مدت زمان حرکت جبهه رطوبتی با شرایط فلاکس صفر صورت می‌گیرد. مدل قادر به شبیه سازی حرکت جبهه رطوبتی در این بازه زمانی نیز می‌باشد. خطوط تکه تکه شکل (۴) بیانگر این فرآیند می‌باشد.

شکل (۵) نتایج شبیه‌سازی توزیع جبهه رطوبتی وبار فشاری توسط مدل در انتهای آزمایش را در نقاط مختلف پروفیل (پرش عمودی نمونه) خاک را نشان می‌دهد که نقاط زیر دیسک تشخیص در این زمان به مکش صفر و رطوبت اشباع رسیده‌اند. شکل نشان می‌دهد که توزیع جبهه فشاری بزرگتر از توزیع جبهه رطوبتی می‌باشد.

نتیجه گیری

جدول (۱) مقادیر K و α های اندازه‌گیری شده متفاوتی را نشان می‌دهد. این نتایج ممکن است به علت متراکم شدن خاک در حین آزمایش و یا نحوه قرارگیری متفاوت دیسک روی سطح خاک باشد.

منابع

- ۱- غفاری، پ.، کشکولی، ح. و ر. مختاران. ۱۳۸۶. مقایسه روش های اندازه گیری هدايت هیدرولیکی با استفاده از نفوذ سنج گلف و نفوذ سنج مکشی. نهمین سمینار ملی آبیاری و کاهش تبخیر، کرمان.
- ۲- قیادیان، ر. و ک. محمدی. ۱۳۸۹. مقایسه روش های مختلف تحلیل پرماتر گلف جهت محاسبه ضریب هدايت هیدرولیکی صحرایی خاک لوم سیلی در بالای سطح ایستایی. نشریه آب و خاک، ۲۴، (۳): ۵۰۱-۵۱۱.
- 3- Abeele, W. V. 1984. Hydraulic testing of crushed Bandelier Tuff. Report No. LA-10037-MS, LosAlamos National Laboratory, Los Alamos, New Mexico, 21 p.
- 4- Ankeny, M. D., Ahmed, M., Kasper, T. C. and R.Horton. 1991. Simple field method for determining unsaturated hydraulic conductivity. Soil Science Society of America Journal, 55: 467-470.
- 5- Carsel, R. F. and R. S. Parrish. 1988. Developing joint probability distributions of soil water retention characteristics. Water Resources Researchs, 24: 755-769.
- 6- Gardner, W. 1958. Some steady-state solutions of the nsaturated moisture flow equation with application to evaporation from a water table. Soil science, 85(4):228-232.
- 7- Jarvis, N. and I. Messing. 1995. Near-saturated hydraulic conductivity in soilsof contrasting texture measured by tension infiltrometers. Soil Science Society of America Journal, 59: 27-34.
- 8- Leij , F. J., Russel, W . B. and Lesch, S. M. 1997. Closed form expressions for water retention and conductivity data. Ground water, 35:848-858
- 9- Logsdon, S. and D. Jaynes. 1993. Methodology for determining hydraulic conductivity with tension infiltrometers. Soil Science Society of America Journal, 57: 1426-1431.
- 10-Marsel, S. G. and F. J. Leij. 2000. Improved prediction of unsaturated hydraulic conductivity with the Mualem-van Genuchten model. Soil Science Society of America Journal, 64: 843-851.
- 11- Meshgi, A. and T. F. M.Chui. 2012. Analysing tension infiltrometer data from sloped surface using two dimensional approximation. Hydrological Processes, 20 (3): 744-752.
- 12- Moghboli, D. A. and S.Delfari. 2009. Assessment HYDRUS-1D model in simulation of water movement in soil (Case Study of Jiroft). National Conference on Water, Soil, Plant and Agricultural Mechanization Science. Dezful, Iran.
- 13- Moret -Fernández, D., Blanco, N., Martínez Chueca, V. and A. Bielsa. 2012 c. Malleable disc base for direct infiltration measurements using the tension infiltrometry technique. Hydrological Processes, 27 (2): 275-280.

1- Carsel and Parrish

2- Rawls

- 14- Mualem, Y. 1976. A catalogue of the hydraulic properties of unsaturated soils. Research Project Report No. 442, Technion, Israel Institute of Technology, Haifa.
- 15- Rawls, W. J., Brakensiek, D. L. and K. E. Saxton. 1982. Estimating soil water properties. Transactions, American Society of Agricultural Engineers (ASAE), 25 (5): 1316-1320.
- 16- Reynolds, W., Elrick, D. and B.Clothier. 1985. The constant head wellpermeameter: effect of unsaturated flow. Soil science, 139 (2): 172-180.
- 17- Scotter, D., Clothier, B. and E. Harper. 1982. Measuring saturated hydraulic conductivity and sorptivity using twin rings. Soil Research, 20 (4): 295-304.
- 18- Simunek, J. and M. T.Van Genuchten. 1997. Estimating unsaturated soil hydraulic properties from multiple tension disc infiltrometer data. Soil Science, 162: 383-398.
- 19- Simunek, J., Van Genuchten M. T., Gribb M. M. and J. W. Hopmans. 1998. Parameter estimation of unsaturated soil hydraulic properties from transient flow processes. Soil and Tillage Research, 47: 27-36.
- 20- Smettem, K. and B. E. Clothier. 1989. Measuring unsaturated sorptivity and hydraulic conductivity using multiple disc permeameters. Juornal of Soil Science,40: 563-568.
- 21- van Genuchten, M. Th. 1980. A closed-form equation for pre- dicting the hydraulic conductivity of unsaturated soils. Soil Science Society of America Journal, 44:892-898.
- 22- Van Genuchten, M. Th., Leij, F. J. and S. R. Yates.1991. The RETC code for quantifying the hydraulic functionsof unsaturated soils. U.S. Salinity Laboratory U.S. Department of Agriculture, Agricultural Research Service Riverside, California.
- 23- Warrick, A. W. 1992. Models for disc permeameters. Water Resource, 28: 1319-1327.
- 24- Wooding, R.A., 1968. Steady infiltration from a shallow circular pond. Water Resources Researchhs, 4: 1259-1273.
- 25- Wösten, I. H. M. and A. Nemes. 2004. Pedotransfer functions for Europe. Alterra, Droevedaalsesteeg 3, 6700 AA Wageningen, The Netherlands.
- 26- Wosten, J. H. M., and M. Th. van Genuchten. 1988. Using texture and other soil properties to predict the unsaturated soil hydraulic functions. Soil Science Society of America Journal, 52: 1762-1770.
- 27- Wosten, J. H. M., Lilly, A., Nemes, A. and C.Le Bas. 1999. Development and use of a database of hydraulic properties of European soils. Geoderma, 90:169-185.